$^{9} ext{Be}+^{64} ext{Zn}$ دراسة و تحليل تبعثر المنظومة

m VMA باستخدام طريقة التقريب التغايري للعزوم $m E_{Be}=(40 ext{-}60)MeV$

أ.د.عبد الهادي صوفان استاذ في قسم الفيزياء كلية العلوم – جامعة حمص

محمد عمر الخطيب طالب ماجستير اختصاص الفيزياء النظرية كلية العلوم – جامعة حمص

الملخص:

يتناول هذا المقال العلمي تحليل نظري لتبعثر نواة البيريليوم (9 Be) عن نواة الهدف (64 Zn) اعتماداً على النموذج الضوئي التبددي (DOM) وطريقته المعروفة بطريقة التقريب التغايري للعزوم (VMA) ضمن المجال الطاقي 60 Be= 60 40- 60 9) و خلصت الدراسة إلى تحديد البارامترات الهندسية الوصفية للكمونات الضوئية (الحقيقية والتخيلية)، و القيم العددية للمقادير الفيزيائية المتمثلة بالعزوم من المرتبة الثانية ، والكمونات الضوئية الموافقة لها ، بالإضافة إلى حساب المقاطع العرضية الكلية والتفاضلية للتفاعل ، و أظهرت النتائج توافقاً واضحاً ومنسجم إلى حدٍ كبير مع البيانات المرجعية والتجريبية باستثناء الكمونات التخيلية التي بدت متباينة بشكل ملحوظ مقارنة بمثيلاتها في التصنيفات المرجعية ، ويُعزى ذلك إلى اعتماد تلك التصنيفات على طريقة تثبيت بعض البارامترات الهندسية ،

وفي الختام تم تقديم مجموعة من التوصيات العلمية التي تتضمن اقتراحات لتوسيع نطاق الدراسة لتشمل أنظمة نووية أخرى.

باستخدام طريقة التقريب التغايري للعزوم VMA بطاقة قذف EBe=(40-60)MeV

الكلمات المفتاحية:

التبعثر النووي، طريقة التقريب التغايري للعزوم (VMA)، الكمون الضوئي التبددي، العزوم من المرتبة الثانية، المقطع العرضى للتفاعل.

Study and analysis the scattering of the $({}^9Be + {}^{64}Zn)$ system using the variational moment approach (VMA) with projectile energies E_{Be} =(40-60)MeV

Abstract:

This study presents a theoretical analysis of the scattering of a (^9Be) nucleus off a $(^6^4\text{Zn})$ target nucleus, based on the Dispersive Optical Model (DOM) and its associated method known as the Variational Moment Approach (VMA) within the energy range of $E_{\text{Be}}=(40\text{-}60)\text{MeV}$, The investigation led to the determination of the geometric parameters characterizing the optical potentials (real and imaginary), as well as the numerical values of key physical quantities, including second-order moments and their corresponding optical potentials. In addition, total and differential reaction cross sections were calculated, The results showed a clear and substantial agreement with both reference and experimental data, except for the imaginary potentials which exhibited noticeable discrepancies compared to their counterparts in standard parameterizations. This deviation is attributed to the reliance of those parameterizations on fixing certain geometric parameters a priori.

Finally, a set of scientific recommendations was proposed suggesting the extension of this study to include other nuclear systems.

Keywords:

سلسلة العلوم الأساسية محمد عمر الخطيب أد.عبد الهادي صوفان

Nuclear scattering, Variational moment approach (VMA), Dispersive optical potential, Second-Order moments,
sections. Reaction cross

مُقدّمة:

تُعد التفاعلات النووية من المواضيع الأساسية في الفيزياء الحديثة، نظراً لما توفره من معلومات دقيقة حول التركيب الداخلي للنوى ، وآليات انتقال الطاقة بين الجسيمات النووية [7] ، وتُعد دراسة التبعثر (Scattering) واحدة من أكثر الأدوات فاعلية لفهم سلوك النوى تحت تأثير قوى الجذب والتنافر النووية [8] ، حيث أن خواص الجسيمات الأولية التي تتكون منها المادة تتحكم في نشأة وتطوير ومصير الكون و أن معرفتنا حول هذه الجسيمات (البروتونات والنترونات والإلكترونات والجسيمات) غير وافية وغير كافية لتفسير وتطور الكون [17] ، لذلك فقد أنجزت محاولات عدة من قبل علماء وباحثين فيزيائيين وغيرهم لفهم القوى التي تتحكم في سلوك هذه الجسيمات مع بعضها البعض ومع الجسيمات الأخرى ، وتم التوصل إلى نظرية موحدة تصف الغلاف الخارجي للنواة (بنية الذرة) في ظل غياب نظرية شاملة تصف طبيعة القوى النووية بين النكليونات (البنية الداخلية للنواة) وذلك لوجود عدة صعوبات ومعوقات[12] ، ونتيجة لتلك الصعوبات فقد أدخلت مجموعة من النماذج النووية الأساسية المقترحة التي يتم من خلالها تفسير بعض الخواص النووية والمعمول بها حالياً وهي: (نموذج قطرة السائل (Liquid Drop Model) ، نموذج القشرة (Shell (Model) ، النموذج الجماعي (Collective Model) ، النموذج البصري (الضوئي) (Model (Model)، نموذج الجسيمة المنفردة (Independent Particle Model)،...) [3] ، ويُلاحظ أن كل نموذج من هذه النماذج يستند إلى فرضيات محددة تُقيّده ضمن نطاق معيّن، مما يسمح له بتفسير جزء من المعطيات التجريبية، لكنه غالباً ما يفشل عند تطبيقه خارج هذا النطاق ، وقد تطرقنا في هذا البحث إلى استخدام النموذج الضوئي التبدي (DOM) بوصفه إطاراً نظرياً مرناً ، لتحديد بارامترات وشكل الكمونات الضوئية وحساب قيم المقاطع العرضية والتفاضلية لمنظومة المدروسة من علاقات رياضية ثابتة (بعيداً عن التخمين) باستخدام طريقة التقريب التغايري للعزوم (Variational moment approach) اختصاراً (VMA) التي تفترض وجود علاقة ارتباط داخلية بين حدى الكمون الضوئي (الحقيقي والتخيلي) من خلال العلاقة التبددية

باستخدام طريقة التقريب التغايري للعزوم VMA بطاقة قذف EBe=(40-60)MeV

(Dispersion Relation – DR) ، مما يساهم في تقليص عدد المتغيرات الهندسية إلى التنين فقط ، بينما يتم تثبيت باقي المتغيرات وفق شروط النموذج.

هدف البحث:

توصيف التأثيرات النووية المتبادلة بين نواة البيريليوم (9 Be) ونواة الهدف الزنك (64 Zn) بعلاقات رياضية محددة واستنتاج شكل الكمونات الضوئية (الحقيقية والتخيلية) ضمن مجال الطاقة المدروس 9 MeV بالإضافة الى تحديد قيم مقاطع التفاعل العرضية والتفاضلية للمنظومة المدروسة.

طرق البحث:

أولاً: المكونات الأساسية للنموذج الضوئي التبددي DOM

يعتمد النموذج الضوئي التبددي (DOM) في توصيف التفاعل النووي (نواة + نواة) على تمثيل الحقل الوسطي (Mean Field) بكمون ضوئي مركب يُعطى بالعلاقة التالية :

$$U(r, E) = V(r, E) + iW(r, E) + V_{LS}(r, E) + V_{C}(r)$$
(1)

وكما هو موضح من العلاقة (1) أن الحقل الوسطي المتشكل ناجم عن اتحاد عدة مكونات أساسية وهي على الترتيب: [26-23-18-16-14]

1. V(r, E) المكوّن الحقيقي للكمون الضوئي (كمون التبعثر) ويتألف من مساهمتين الأولى $\Delta V(r, E)$: المكوّن الحقيقي للكمون هارتي فوك V_{HF} والثانية هي المساهمة التبددية $\Delta V(r, E)$ وتنقسم التجة من مساهمة كمون هارتي فوك ΔV_{HF} والثانية هي المساهمة التبددية $\Delta V_{W}(r, E)$ ويعبر عن ذلك إلى مركبتين (سطحية تبددية $\Delta V_{W}(r, E)$ وحجمية تبددية $\Delta V_{W}(r, E)$ ويعبر عن ذلك بالعلاقة (2):

$$V(r,E) = V_{HF}(r,E) + \Delta V(r,E)$$

$$V(r,E) = V_{HF}(r,E) + \Delta V_{d}(r,E) + \Delta V_{V}(r,E)$$
(2)

1. W(r, E) المكوّن التخيلي للكمون الضوئي (كمون الامتصاص) أيضاً يتألف من مركبتين $W_V(r, E)$ ويُعبّر كمون الامتصاص السطحي $W_d(r, E)$ ويُعبّر عنه بالعلاقة (3):

$$W(r,E) = W_d(r,E) + W_V(r,E)$$
(3)

الكمون السبيني المداري: وهو يعكس التأثير المتبادل بين العزم السبيني S والعزم $V_{ls}(r,E)$.2 المداري L ، ويعطى بالعلاقة التالية: [6]

$$V_{LS}(r,E) = -\frac{V_{LS}(E)}{4r_{LS}. a_{LS}}. g(x_{LS}) \vec{L} . \vec{\sigma}$$
 (4)

حيث:

مؤثر مصفوفة اللف لباولي.

مؤثر مصفوفة يعبر عن العزم المداري. $ec{L}$

المداري. السبيني المداري. ثابت يتعلق بوسطاء الانتشارية ونصف القطر للكمون السبيني المداري.

 $V_{c}(r)$ الكمون الكولومي: يعطى من أجل كرة مشحونة مُنتظمة بالعلاقة التالية:

$$V_{C}(r) = \left(\frac{ZZ'e^{2}}{2R_{C}}\right)\left(3 - \frac{r^{2}}{2R_{C}^{2}}\right) \qquad ; r \leq R_{C}$$

$$V_{C}(r) = \frac{ZZ'e^{2}}{r} \qquad ; r \geq R_{C}$$

$$(5)$$

يجمع النموذج الضوئي التبددي في بُنيته الرياضية هذه المكونات الأربعة لتشكيل حقل وسطي دقيق يحاكي عملية التبعثر النووي بصورة واقعية، ويتم إدراج هذا الحقل الوسطي في معادلة شرودنغر الموجية، مما يتيح حساب الكميات الفيزيائية كالمقاطع العرضية للتفاعل والتفاضلية وغيرها....، وتُعطى الصيغة التفصيلية لهذا الحقل الممثل بالكمون الضوئي من خلال العلاقة التالية: [9-11]

باستخدام طريقة التقريب التغايري للعزوم VMA بطاقة قذف EBe=(40-60)MeV

$$U(r,E) = [V_{HF}(r,E) + \Delta V_{d}(r,E) + \Delta V_{V}(r,E)] + i[W_{d}(r,E) + W_{V}(r,E)] - \frac{V_{LS}(E)}{4r_{LS}.a_{LS}}.g(x_{LS})\vec{L}.\vec{\sigma} + V_{C}(r)$$
(6)

إن كل مكون من مكونات العلاقة (6) يتكون من جزأين: الأول ذات تابعية طاقية والثاني ذات تابعية قطرية، وعلى اعتبار أن الكمون الضوئي يصف حقل قوى مركزي وسطي متناظر كروياً، فإن أفضل صيغة يمكن اعتمادها لوصف بئر الكمون هذا هي صيغة كمون وود-ساكسون [2] (Wood-Saxon form) التالية:

$$V(r,E) = V_i(E).f(r,R_i,a_i)$$
(7)

حيث أن: $R_j = r_j * A_t^{\frac{1}{3}}$ (نصف القطر) $R_j = r_j * A_t^{\frac{1}{3}}$ معامل البنية ويعطى بالعلاقة التالية:

$$f(r, R_j, a_j) = \frac{1}{[1 + \exp^{(r-R_j)}]}$$
 (8)

ثانياً : خطوات تطبيق منهجية VMA [4-8-22-8]

يتلخص جوهر هذه الطريقة بالعلاقة (11) التبددية، التي تربط بين جزأي الكمون (الحقيقي والتخيلي) وهذا بدوره يقلل عدد المتغيرات الهندسية للكمون الضوئي المطلوب حسابها، ويساعد على استنتاج الشكل المناسب لكل مكوّن من مكونات الكمون النووي الموضح في العلاقة (6)، ويعطي وصف جيد لسلوك المقاطع العرضية للتفاعل والتفاضلية بدلالة تابعيّتها للطاقة، وفيما يلي عرض منهجي للخطوات التي تم اتباعها لتطبيق هذه الطريقة ضمن الإطار النظري للبحث:

أولاً: تحديد مكونات الحقل النووي الموضح في العلاقة (6) ويتم ذلك وفق التالي: بالنسبة للمكوّن الحقيقي للكمون الضوئي فهو يتألف من مساهمتين، يتم تحديد المساهمة الأولى الممثلة بكمون (هارتي فوك) بالعلاقة التالية:

$$V_{HF} = \frac{[r2]_{HF}EF}{g_{HF}} \left\{ exp[\alpha_{HF} (E - E_0)] \right\}.f(x_{HF})$$
 (9)

حيث: $f(x_{HF})$ يمثل صيغة معامل البنية (Wood-Saxon form)، و $f(x_{HF})$ يمثل العزم من المرتبة الثانية لكمون (هارتي – فوك) ويعطى بالعلاقة التالية:

$$[r^2]_{HF} = \frac{4\pi}{3} \frac{R_{HF}^3}{A} \left[1 + \left(\frac{\pi a_{HF}}{R_{HF}} \right)^2 \right] . V_{HF} (E) = g_{HF} . V_{HF} (E)$$
 (10)

المساهمة الثانية التبددية بنوعيها (السطحية والحجمية) فيتم تحديدها من خلال العلاقة التالية:

$$\Delta V_W(r,E) = \frac{2}{\pi} (E - E_0) \int_{E_0}^{\infty} \frac{w_V(r,E)dE}{(E - E_0)^2 - (E - E_0)}$$
(11)

$$\Delta V_d(r,E) = \frac{2}{\pi} (E - E_0) \int_{E_0}^{\infty} \frac{w_d(r,E)dE}{(E - E_0)^2 - (E - E_0)}$$

أما المكوّن التخيلي للكمون الضوئي بشقيه (الحجمي W w و السطحي (W d فيُحدد بعد إيجاد وتحديد قيم العزوم التخيلية الموافقة، باستخدام العلاقة (12) التالية:

$$J_{wd}(E) = \frac{4\pi}{3} \frac{R_{wd}^3}{A_p A_t} \left[1 + \frac{1}{3} \left(\frac{\pi a_{wd}}{R_{wd}} \right)^2 \right] \cdot W_{wd}(E) = g_{wd} \ W_{wd}(E)$$

$$J_{Ww}(E) = \frac{4\pi}{3} \frac{R_{Ww}^3}{A_p A_t} \left[1 + \frac{1}{3} \left(\frac{\pi a_{Ww}}{R_{Ww}} \right)^2 \right] \cdot W_{Ww}(E) = g_{Ww} \ W_{Ww}(E)$$

$$J_{W}(E) = J_{wd}(E) + J_{Ww}(E) = 4\pi A \int \left[W_d(r, E) + W_V(r, E) \right] r^2 dr$$

باستخدام طريقة التقريب التغايري للعزوم VMA بطاقة قذف EBe=(40-60)MeV

حيث: $J_W(E)$, $J_{Ww}(E)$, $J_{Ww}(E)$ العزوم من المرتبة الثانية للكمونات التخيلية (السطحية والحجمية والكلية) على الترتيب، وتحدد من خلال علاقة براون راو (Brown-Rho) التالية: [10]

$$J_{wd}(E) = J_W(E) - J_{Ww}(E)$$

$$= \beta_2 \left\{ \frac{(E - E0)^2}{(E - E0)^2 + \rho_2^2} - \frac{(E - E0)^2}{(E - E0)^2 + \rho_w^2} \right\}$$
(13)

حيث: $(\rho_w, \rho_2, \beta_2)$ تُمثل وسطاء (براون – رو) (Brown-Rho)، وهي متغيرات تُحدد بطريقة المحاكاة والمقارنة بين القيم العددية للعزوم من المرتبة مع القيم المرجعية الموافقة لها عند طاقة محددة، أما (E_0, E) تمثل طاقة القنيفة و باراميتر يتعلق بخصائص المستويات الفرعية للتفاعل المدروس

ثانياً : إيجاد حلول معادلة شرودنغر الموجية

تُحل معادلة شرودنغر الموجية المتضمنة لشكل الكمون الموضح بالعلاقة (6) وذلك بعد تحديد وإيجاد مكوناته ووسطاءه الهندسية، باستخدام البرنامج (Spi-genoa) [5]، الذي يعطينا القيم النظرية للكميات الفيزيائية الأساسية المرتبطة بعملية التبعثر النووي بما في ذلك المقاطع العرضية التفاضلية، المرنة، والتفاعلية ضمن مجال الطاقة المحدد.

حيث أن معادلة شرودنغر الموجية المستخدمة تعطى بالعلاقة التالية: [1]

$$\frac{d^2\psi}{dx^2} + \frac{2m}{\left(\frac{h}{2\pi}\right)^2} (E - U)\psi = 0 \tag{14}$$

النتائج والمناقشة:

بناءً على الخطوات السابقة وبعد تحليل البيانات المرجعية والحسابات العددية المستخرجة وفق منهجية VMA تم التوصل إلى ما يلي:

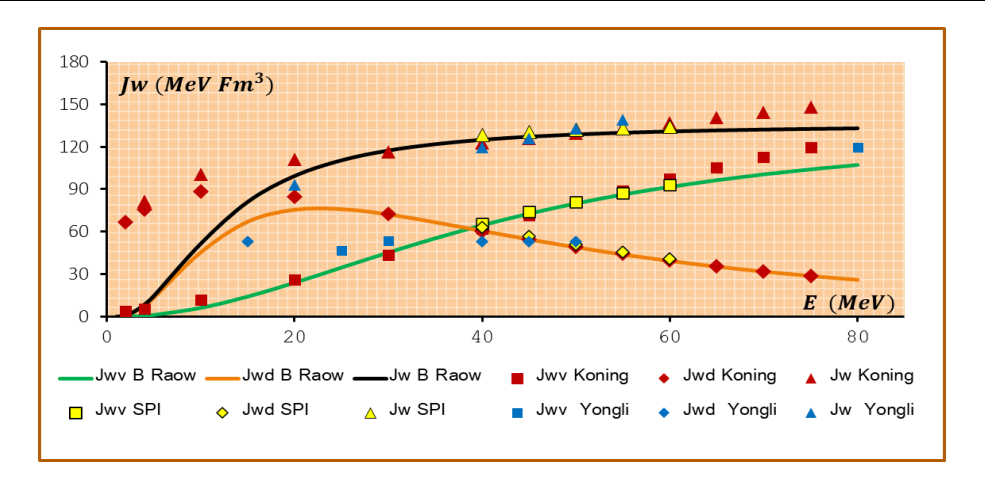
1. تم تحديد البارامترات الهندسية للكمونات الضوئية (الحقيقية والتخيلية) الخاصة بالمنظومة النووية $E_{Be}=(40-60) MeV$ عما هو مبين في الجدول $^{9}Be+^{64}Zn$) ضمن المجال الطاقي المحدد (1):

E	$\mathbf{V}_{\mathbf{v}}$	$\mathbf{W}_{\mathbf{v}}$	$\mathbf{W}_{\mathbf{d}}$	$\mathbf{r}_{\mathbf{v}}$	$\mathbf{a}_{\mathbf{v}}$	\mathbf{r}_{w}	\mathbf{a}_{w}	\mathbf{r}_{d}	\mathbf{a}_{d}
(MeV)				(Fm)					
40	219.168	49.014	35.037	1.415	0.661	1.358	0.646	1.358	0.646
45	210.843	55.233	31.554	1.406	0.661	1.358	0.646	1.358	0.646
50	202.311	60.696	28.314	1.399	0.661	1.358	0.646	1.358	0.646
55	193.77	65.457	25.38	1.393	0.661	1.358	0.646	1.358	0.646
60	185.337	69.579	22.761	1.389	0.661	1.358	0.646	1.358	0.646
V _{so} =0.560 MeV			r _{so} =0.590 Fm			a _{so} =1.025 Fm			

الجدول (1) قيم البارامترات الهندسية للكمونات الضوئية (الحقيقية والتخيلية) الخاصة بالمنظومة النووية (9 Be+ 64 Zn) التي حصلنا عليها من البرنامج

2. حُسبت العزوم من المرتبة الثانية للمكونات التخيلية (السطحية والحجمية) باعتماد على علاقة براون - راو (Brown-Rho) [10]، ومُثلت بيانياً كما هو موضح بالشكل (1):

دراسة و تحليل تبعثر المنظومة (64 Zn) دراسة و تحليل تبعثر المنظومة (60 Be+ 64 Zn) دراسة التقريب التغايري للعزوم VMA بطاقة قذف 60 EBe= 64



الشكل (1) يمثل تغيرات العزوم من المرتبة الثانية بدلالة الطاقة للمنظومة النووية (9Be+64Zn)

 J_{W} $J_{$

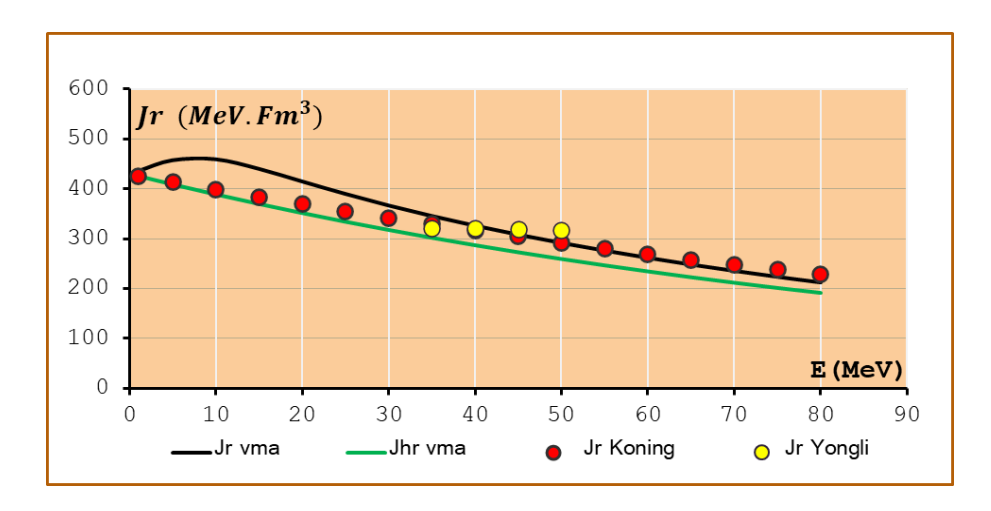
3. تم استخلاص الوسطاء الهندسية لطريقة VMA، كما هو موضّح في الجدول (2):

E_0 ρ_2	ρ_{w}	2β
----------------	---------------------	----

	(MeV)					
1	11.5	41	136			

الجدول (2) الوسطاء الهندسية الخاصة بطريقة VMA

4. تم التوصل إلى القيم العددية للعزوم الحقيقية للكمون الضوئي، بالإضافة إلى استنتاج عزم هارتي-فوك، ممّا يعزز التفسير الفيزيائي لبنية الحقل النووي الوسطي كما هو موضح في الشكل (2):

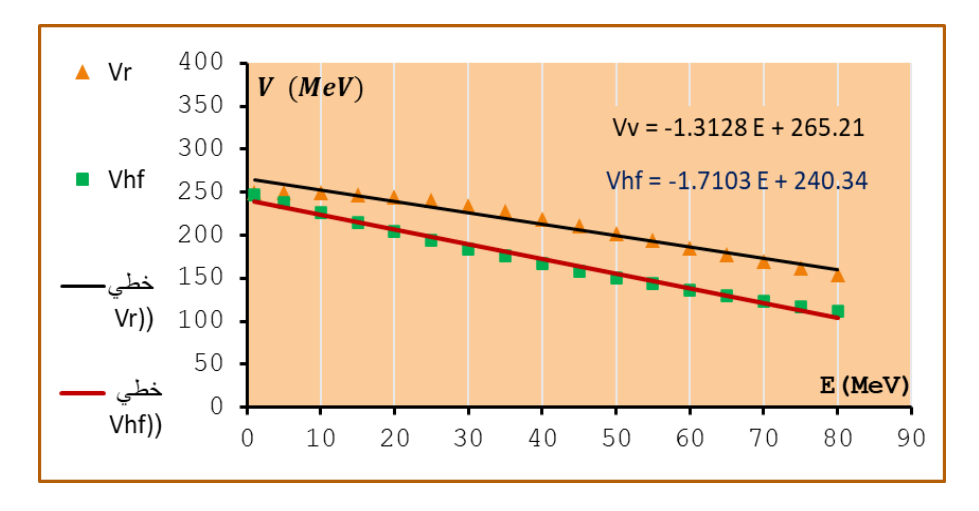


الشكل (2) تغيرات العزم الحقيقي وعزم هارتي فوك بدلالة الطاقة للمنظومة المدروسة

نلاحظ من الشكل (2) التوافق الجيد بين القيم العددية للعزوم الحقيقية مع مثيلاتها المرجعية [20-20] وهذا دليل آخر على التوصيف الجيد للمعطيات التجريبية الخاصة بالنوى المدروسة من جهة، والدقة في تحديد البارامترات والوسطاء الهندسية من جهة أخرى لجميع النوى المدروسة ضمن مجال الطاقة المحدد.

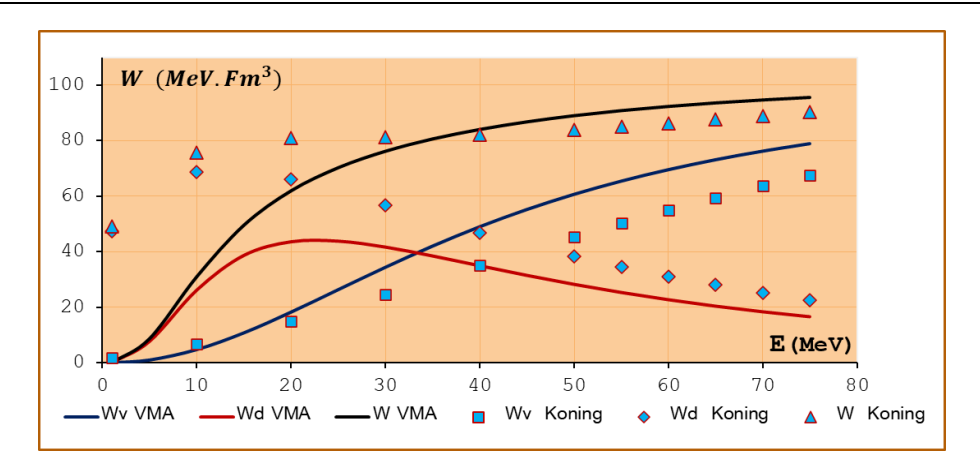
5. تم استنتاج قيم الكمونات الضوئية الحقيقية والتخيلية (السطحية والحجمية) والشكل (3) والشكل
 (4) يوضحا ذلك:

دراسة و تحليل تبعثر المنظومة (Be+64Zn) باستخدام طريقة التقريب التغايري للعزوم VMA بطاقة قذف EBe=(40-60)MeV



الشكل (3) يمثل التابعية الطاقية للكمون الحقيقي وكمون هارتي فوك للمنظومة المدروسة

 $V_{HF}(E)$ فوك $V_{V}(E)$ وكمون هاتري فوك $V_{V}(E)$ وكمون هاتري فوك $V_{V}(E)$ هي وبتقريب جيد تابعية خطية ضمن مجال الطاقة المحدد، وتم التعبير عن سلوكها بدلالة الطاقة بالعلاقات الموضحة على الشكل (E)، حيث أنه من خلال هذه العلاقات يمكننا تحديد قيمة الكمونات الحقيقية وهاتري فوك من أجل أي قيمة طاقية، وهذا سيملأ النقص ويعزز البيانات المرجعية في مناطق طاقية مختلفة ومهما كانت الخطوات الطاقية المعتبرة.

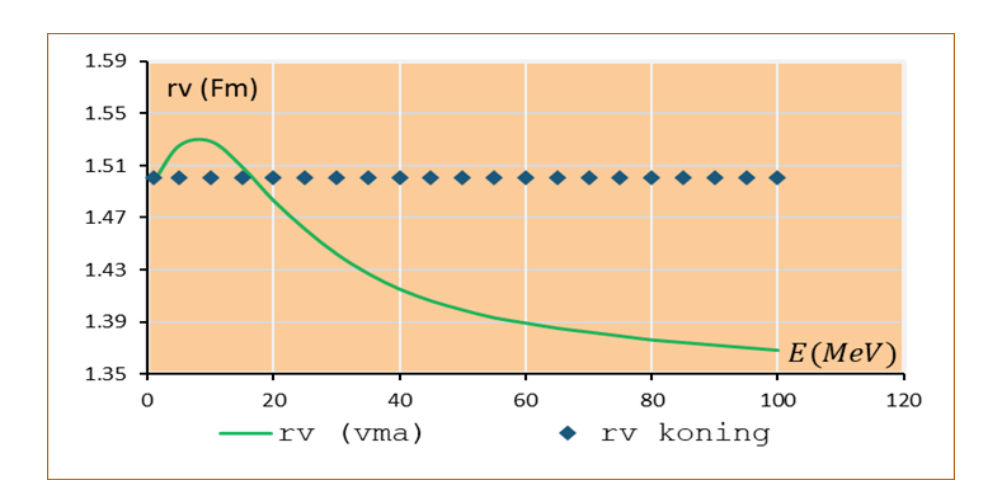


الشكل (4) يمثل التابعية الطاقية للكمونات التخيلية (السطحية والحجمية والكلية) للمنظومة المدروسة

نلاحظ من الشكل (4) أن الكمونات التخيلية تملك سلوكاً مشابهاً لسلوك الكمونات الموافقة لها في التصنيفات المرجعية المرجعية تعتمد التصنيفات المرجعية المرجعية تعتمد على مبدأ تثبيت قيم بعض البارامترات مثل (نصف القطر والنفاذية) بدلالة تابعيتها للطاقة، مما أدى الاختلاف في قيم الكمونات مع المحافظة على السلوك نفسه.

دراسة و تحليل تبعثر المنظومة (64 Zn) دراسة و تحليل تبعثر المنظومة (60 Be+ 64 Zn) دراسة و تحليل تبعثري للعزوم 60 PBe= 64 Zn) باستخدام طريقة التقريب التغايري للعزوم

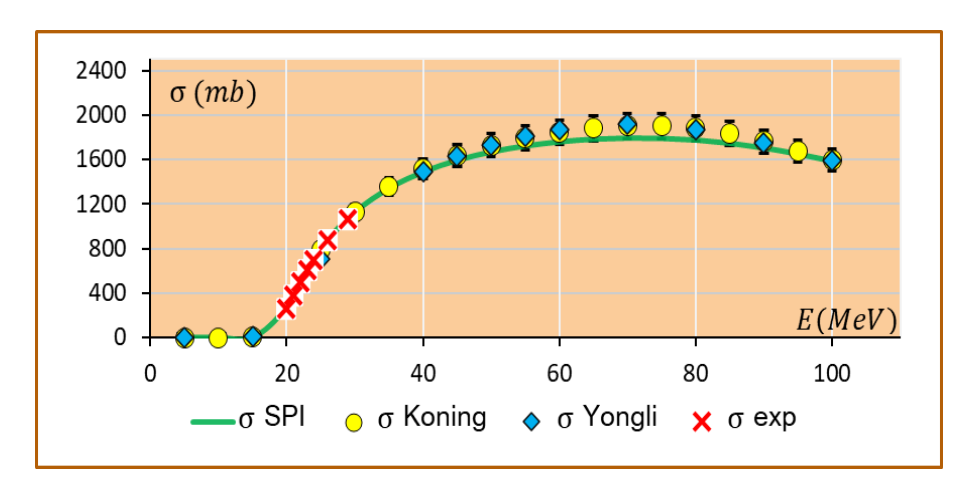
6. تحديد قيم نصف قطر الكمون الحقيقي rv(E) ودراسة تابعيته للطاقة ومثل بيانياً كما في الشكل (5):



الشكل (5) يمثل تغيرات نصف القطر الحقيقي بدلالة الطاقة للمنظومة المدروسة

نلاحظ من الشكل (5) وبالمقارنة مع البيانات المرجعية [20-21] التقاء الخط البياني مع عدد محدد من النقاط المرجعية عند قيم طاقية مختلفة، ومن النادر الالتقاء مع كل النقاط الأخرى وذلك لأن التصنيفات المرجعية كم ذكرنا سابقاً تعتمد على طريقة تثبيت بعض البارامترات الهندسية للكمون الضوئي ومنها نصف القطر، وبالتالي هذا لا يعكس التغيرات التي تطرأ على نصف القطر بشكل واضح ولا على التأثيرات المتبادلة بين القذيفة والهدف أيضاً.

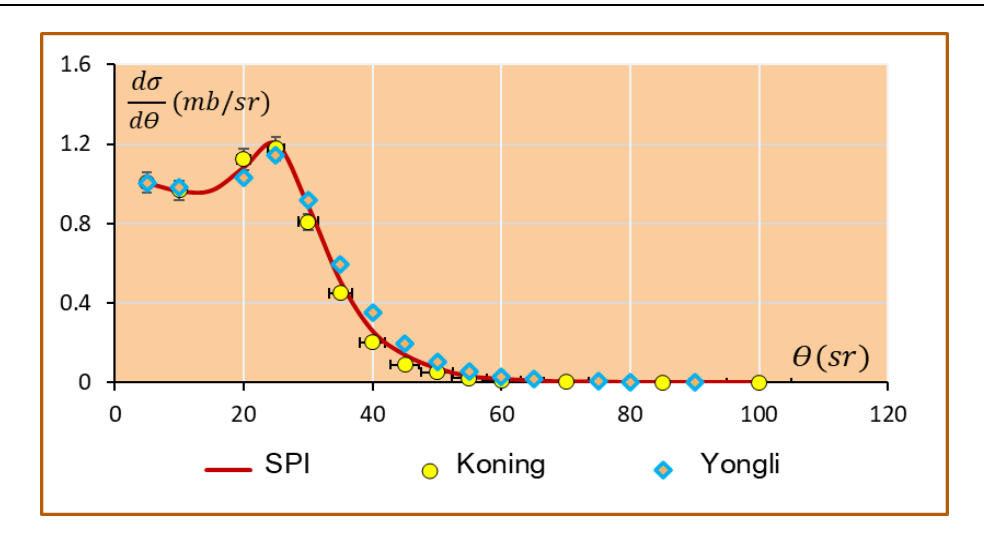
7. حُسبت القيم العددية للمقاطع العرضية للتفاعل والمقاطع العرضية التفاضلية للمنظومة المدروسة وتم تمثيلها بيانياً، ومقارنتها مع النتائج المرجعية والتجريبية الموافقة لها، لتوثيق فعالية النموذج في محاكاة عملية التبعثر بدقة، والشكل (6) والشكل (7) يوضحا ذلك:



الشكل (6) يمثل تغيرات المقطع العرضى للتفاعل بدلالة الطاقة للمنظومة المدروسة

نلاحظ من الشكل (6) التوافق الجيد لقيم مقاطع التفاعل المحسوبة وفق طريقة $\sigma(\text{spi})$ VMA والقيم المحسوبة وفق التصنيفات المرجعية [21-20] ومع القيم التجريبية الموافقة لها [21-15] وما القيم التجريبية الموافقة لها [25-19-15] وبالتالي يمكننا الحكم وبشكل نهائي على مدى صحة هذه الطريقة (طريقة (كل) وقدرتها على توصيف النوى، وبالتالي معالجة (حل) مشكلة نقص البيانات المرجعية فيما يتعلق بدراسة تفاعل [25-19] مع أهداف أخرى مختلفة، وضمن مجالات طاقية مختلفة وأوسع.

دراسة و تحليل تبعثر المنظومة (Be+64Zn) المنظومة (Be+64Zn) باستخدام طريقة التقريب التغايري للعزوم VMA بطاقة قذف EBe=(40-60)MeV



الشكل (7) يمثل تغيرات المقطع العرضي التفاضلي بدلالة الطاقة

نلاحظ من الشكل (7) التوافق الجيد بالسلوك والتقارب بالقيم العددية بين نتائج الدراسة ونتائج الدراسات المرجعية [21-15-15-15-13] ونتائج التصنيفات [21-20] ونلاحظ أيضاً ظهور قمة بالقرب من الزاوية $\theta=20$ تدل على قيمة عظمى للمقطع العرضي التفاضلي عند قيمة طاقية ثابتة $E_{Be}=50~\text{MeV}$ ، وبالتالي تساعدنا هذه التابعية في تحديد أفضل زاوية ورود للجسم الوارد (القذيفة) من أجل قيمة طاقية محددة ، بناءً على التقنية المراد استخدام المنظومة (هدف $\theta=20$) فيها .

الاستنتاجات والتوصيات:

وفقاً لما أظهرته النتائج والتحليلات السابقة، يمكن القول أن النموذج الضوئي التبددي (DOM) يقدّم منهجية دقيقة ومتقدمة لتوصيف الكمون الضوئي بشكل دقيق واستنتاج العزوم من المرتبة الثانية المرتبطة به، كما يُتيح هذا النموذج حساب المقاطع العرضية للتفاعل بصورة تُظهر توافقاً كبيراً مع البيانات المرجعية والتجريبية مما يوفر تصور مستقبلي واضح لبنية النوى المدروسة، وبهذا يُعزّز من إمكانية اعتماده كمرجعية علمية أساسية في تحليل النتائج وتصنيف الظواهر النووية وفق أسس منهجية علمية ومدروسة.

نوصى ب :

تصميم برمجيات متخصصة تستند إلى العلاقات المستخلصة من هذا النموذج، مما يُسهَل توسيع نطاق تطبيقه ويعزز من موثوقيته كمرجع علمي في دراسات مستقبلية.

المراجع:

- 1. Schrödinger, E. (1926). An undulatory theory of the mechanics of atoms and molecules. Physical Review, 28(6), 1049–1070.
- 2. Woods, R. D., & Saxon, D. S. (1954). Diffuse surface optical model for nucleon-nuclei scattering. Physical Review, 95(2), 577–578.
- 3. Preston, M. A., & Bhaduri, R. K. (1975). Structure of the Nucleus. Addison-Wesley.
- 4. Vautherin, D., & Brink, D. M. (1972). Hartree-Fock calculations with Skyrme's interaction. I. Spherical nuclei. Physical Review C, 5(3), 626–647. https://doi.org/10.1103/PhysRevC.5.626
- 5. PEREY F.G. code SPI-GENOA (unpublished)1976.
- 6. Scheerbaum, R. R. (1976). Spin-orbit coupling in the optical model for nucleon-nucleus scattering. Nuclear Physics A, 257(1), 77–92. 16(1), 80–96.
- 7. Krane, K. S. (1987). Introductory Nuclear Physics. Wiley
- 8. Mahaux, C., & Sartor, R. (1991). Dispersion relation approach to the mean field in nuclei and the nuclear optical model. Advances in Nuclear Physics, 20, 1–223.
- 9. Varner, R. L., Thompson, W. J., McAbee, T. L., Ludwig, E. J., & Clegg, T. B. (1991). A global nucleon optical model potential. Physics Reports, 201(2), 57–119.
- 10. Brown, G. E., & Rho, M. (1991). Scaling effective Lagrangians in a dense medium. Physical Review Letters, 66(20), 2720–2723.
- 11. ROMANOVSKY E. A ,BELAL. A , MORZENA L .R 1993 News. RAS ,Phys . Vol . 57, No . 10 , P. 179.
- 12. Greiner, W., & Maruhn, J. A. (1996). Nuclear Models. Springer.

باستخدام طريقة التقريب التغايري للعزوم VMA بطاقة قذف EBe=(40-60)MeV

- 13. S. B. Moraes, P. R. S. Gomes, J. Lubian, J. J. S. Alves, R. M. Anjos, M. M. Sant'Anna, I. Padrón, C. Muri, R. Liguori Neto, and N. Added, Phys. Rev. C 61, 064608 (2000).
- 14. Hilaire, S., & Girod, M. (2001). Microscopic optical potential from Hartree-Fock-Bogoliubov calculations. European Physical Journal A, 12(2), 169–176.
- 15. P.R.S. Gomes, M.D. Rodriguez, G.V. Martí, I. Padrón, L.C. Chamon, J.O. Fernández Niello, O.A. Capurro, A.J. Pacheco, J.E. Testoni, A. Arazi, M.Ramírez, R.M. Anjos, J. Lubian, R. Veiga, R. Liguori Neto, E. Crema, N. Added, C. Tenreiro, M.S. Hussein, Phys. Rev. C 71 (2005) 034608.
- 16. Charity, R. J., & Sobotka, L. G. (2008). Dispersive optical-model analysis of neutron scattering on 208Pb. Physical Review C, 77(4), 044611.
- 17. Griffiths, D. J. (2008). Introduction to Elementary Particles (2nd ed.). Wiley-VCH.
- 18. Capote, R., Herman, M., Obložinský, P., Young, P. G., Goriely, S., Belgya, T., ... & Koning, A. J. (2009). RIPL Reference Input Parameter Library for Calculation of Nuclear Reactions and Nuclear Data Evaluations. Nuclear Data Sheets, 110(12), 3107–3214.
- 19. A. Di Pietro, G. Randisi, V. Scuderi, L. Acosta, F. Amorini, M. J. G. Borge, P. Figuera, M. Fisichella, L. M. Fraile, J.Gomez-Camacho et al., Phys. Rev. Lett. 105, 022701 (2010).
- 20. A.J. Koning and D. Rochman ,Nuclear Research and Consultancy Group NRG,P.O. Box 25, 1755 ZG Petten, The Netherlands (Dated: September 27, 2012)
- 21. Yongli Xu, Yinlu Han, Haiying Liang, Zhendong Wu, Hairui Guo, and Chonghai Cai ,Physical Review C 99, 034618 (2019).
- 22. Dickhoff, W. H., & Charity, R. J. (2019). Dispersive optical model analysis of nuclear reactions. Progress in Particle and Nuclear Physics, 105, 252–299.
- 23. Al-Mustafa, H., & Belal. A. (2019). A Dispersive Optical Model Analysis of the (Coulomb-Nuclear) Interference Potential, ALBAATH university- Syria HOMS.

- 24. BELAL A., Al-Ibrahim M., "Studying the energetic function as the parameters of the optical proton potential use the Desperation optical model" ALBAATH university- Syria HOMS, 2020.
- 25. Awad A. Ibraheem, Ghadhiyyah M. Alzamanan, B. Alsarhani, M. El-Azab Farid, W. Alharbi, Sh. Hamada, Brazilian Journal of Physics (2021) 51:753–763.
- 26. Holt, J. W., & Whitehead, T. R. (2022). Modern approaches to optical potentials. Handbook of Nuclear Physics. arXiv preprint.